

УДК 626.039.553.34

## МАТЕМАТИЧЕСКОЕ МОДЕЛИРОВАНИЕ ТЕПЛОПЕРЕНОСА В ПРИБОРНОМ ОТСЕКЕ КОСМИЧЕСКОГО АППАРАТА ПРИ СУЩЕСТВЕННО НЕСТАЦИОНАРНОМ ВНЕШНЕМ ТЕПЛООБМЕНЕ

Г.В. Кузнецов, С.Ф. Санду

Томский политехнический университет

E-mail: sandusf@ngf.tomsk.ru

На основе разработанной математической модели проведен вычислительный эксперимент по исследованию динамики процессов теплопереноса в Н-образном информационно-логическом блоке современного космического аппарата связи при его орбитальной эксплуатации в существенно нестационарных условиях суточного цикла освещенности Солнцем. Сделана количественная оценка степени неоднородности температурных полей как приборов радиоэлектронной бортовой аппаратуры, так и основных элементов конструкции приборного отсека.

Современные искусственные спутники Земли, находящиеся на различных орбитах, используют для связи и телерадиовещания, дистанционного зондирования Земли, исследования ресурсов моря и суши, метеорологии и других целей. Они представляют собой долгоресурсные космические аппараты (КА), в процессе эксплуатации находящиеся в условиях комплексного воздействия внутренних и внешних тепловых нагрузок. Приборный отсек (ПО) такого КА представляет собой сборную негерметичную блочно-модульную конструкцию из прямоугольных трехслойных алюминиевых панелей с сотовым заполнителем [1] и собран из модуля полезной нагрузки (МПН) и модуля служебных систем. Модуль служебных систем состоит из вложенных друг в друга Н-образного информационно-логического блока (ИЛБ) и П-образного энергодвигательного блока (ЭДБ) [2], рис. 1.

Внешний теплообмен ПО характеризуется периодическим полугодовым циклом освещенности Солнцем (панели «Север» и «Юг»). Применение Н-образной конструкции ИЛБ позволяет дополнительно использовать панели «Восток» – (1) и «Запад» – (3) в качестве радиаторов. По этой причине внешний теплообмен в ИЛБ имеет существенно нестационарный характер в суточном цикле попеременно-периодического воздействия солнечного потока.

Ранее было проведено численное моделирование пространственных нестационарных температурных полей перспективных МПН и ЭДБ [3, 4], работающих в условиях стационарных внешних воздействий. Для ИЛБ такой анализ проведен только в рамках плоской модели теплопереноса [5], которая не учитывает ряд важных особенностей Н-образной конструкции блока. Так, например, перенос тепловой энергии в такой системе по всем трем координа-

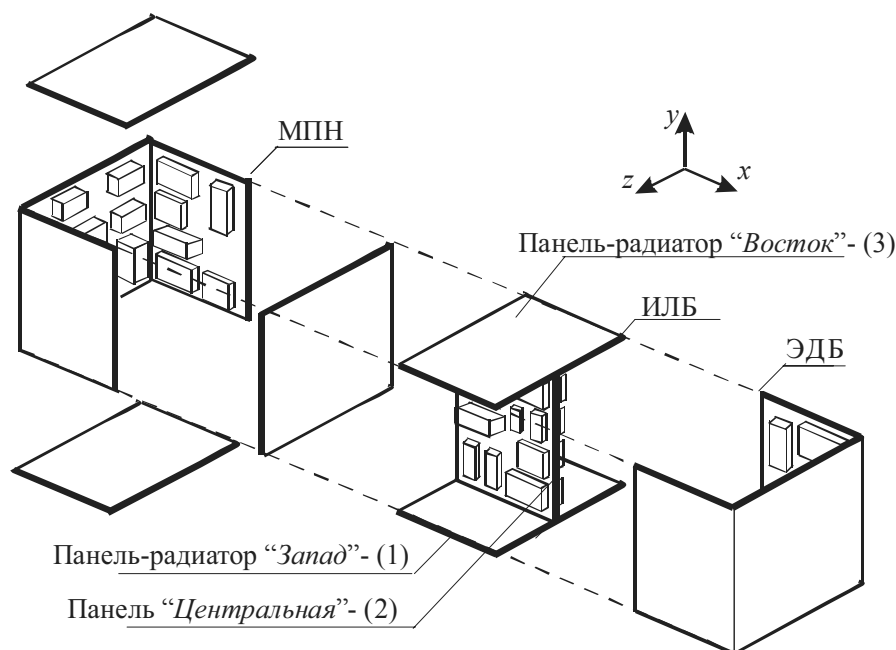


Рис. 1. Общая схема блочно-модульной компоновки перспективного КА связи

тным направлениям и связь между каждой из трех панелей играют важную роль в формировании теплового режима блока. По этим причинам представление каждой панели бесконечно тонкой пластиной или пластиной с бесконечно большой теплопроводностью может привести к достаточно большим погрешностям при численном моделировании.

Цель работы заключается в математическом моделировании теплопереноса в информационно-логическом блоке негерметичного ПО КА при его орбитальной эксплуатации в существенно нестационарных условиях суточного цикла освещенности Солнцем с учетом объемного характера переноса тепловой энергии.

Задача рассматривается на примере перспективного Н-образного ИЛБ, в котором приборной является панель «Центральная» – (2), имеющая двухстороннюю компоновку расположения приборов тепловыделяющей бортовой аппаратуры (БА). Блок выполнен из алюминиевых трехслойных сотовых панелей (1–3) с встроенной системой обеспечения теплового режима (СОТР) на основе нерегулируемых низкотемпературных тепловых труб (НТТ), связывающих в тепловом отношении панели – 1 и 3. Панели – 1, 3 открыты для теплообмена с космическим пространством. В качестве приборов рассмотрена типичная конструкция блока элементов радиоэлектронной аппаратуры кассетного типа с кондуктивными теплостоками, по которым осуществляется отвод тепла от плат с микромодулями к охлаждаемому основанию. Мощности источников тепловыделения считаются равномерно распределенными по областям, имеющим форму параллелепипедов и соответствующим отдельным функциональным элементам или группам элементов [6]. В этом случае задача сводится к решению системы трехмерных уравнений теплопроводности для  $N$  анизотропных параллелепипедов с заданным объемным распределением внутренних источников теплоты:

$$c_i \rho_i \frac{\partial T}{\partial t} = \frac{\partial}{\partial x} \left( \lambda_{x,i} \frac{\partial T}{\partial x} \right) + \frac{\partial}{\partial y} \left( \lambda_{y,i} \frac{\partial T}{\partial y} \right) + \frac{\partial}{\partial z} \left( \lambda_{z,i} \frac{\partial T}{\partial z} \right) + q_i(x, y, z).$$

Здесь  $c$  – удельная теплоемкость;  $\rho$  – плотность;  $T$  – температура;  $t$  – время,  $\lambda_x, \lambda_y, \lambda_z$  – эффективные коэффициенты теплопроводности анизотропных элементов нагретой зоны;  $x, y, z$  – прямоугольные координаты;  $q_i(x, y, z)$  – функция, учитывающая распределение мощности внутренних источников тепла;  $i=1, 2, \dots, N$  – индекс элемента нагретой зоны.

Система уравнений теплопроводности для обшивок панелей, сотового заполнителя и корпусов тепловых труб имеет аналогичный вид за исключением источников тепла. На всех границах в местах контактов элементов внутренней структуры прибора между собой и с охлаждаемым основанием, основания прибора с обшивкой, обшивок с сотовым заполнителем приняты условия непрерывности тепловых потоков и температур [3, 4]:

$$\lambda_{x,i} \frac{\partial T_i}{\partial x} = \lambda_{x,i+1} \frac{\partial T_{i+1}}{\partial x}, \quad T_i(z, y, t) = T_{i+1}(z, y, t),$$

$$\lambda_{y,i} \frac{\partial T_i}{\partial y} = \lambda_{y,i+1} \frac{\partial T_{i+1}}{\partial y}, \quad T_i(x, z, t) = T_{i+1}(x, z, t),$$

$$\lambda_{z,i} \frac{\partial T_i}{\partial z} = \lambda_{z,i+1} \frac{\partial T_{i+1}}{\partial z}, \quad T_i(x, y, t) = T_{i+1}(x, y, t).$$

Здесь  $\lambda_x, \lambda_y, \lambda_z$  – эффективные коэффициенты теплопроводности анизотропного сотового заполнителя. Для изотропных алюминиевых обшивок  $\lambda_x = \lambda_y = \lambda_z$ .

Радиаторные панели – 1 и 3 находятся в периодическом суточном цикле освещенности Солнцем. Можно считать, что космическое пространство поглощает все уходящее с радиационной поверхности тепло как идеально черное тело с нулевой температурой. Для внешних граней панелей – 1 и 3 принимались граничные условия, описывающие падающий поток солнечного излучения в виде периодических аналитических зависимостей для панелей-радиаторов – 1 и 3 соответственно:

$$\begin{cases} A_s S \sin \varphi \cdot \sin\left(\frac{\pi t}{12}\right) = \lambda_z \frac{\partial T_i}{\partial z} - \varepsilon_w \sigma T_w^4, \\ \lambda_z \frac{\partial T_i}{\partial z} - \varepsilon_w \sigma T_w^4 = 0, \end{cases} \quad 0 < t \leq 12;$$

$$\begin{cases} \lambda_z \frac{\partial T_i}{\partial z} - \varepsilon_w \sigma T_w^4 = 0, \\ A_s S \sin \varphi \cdot \sin\left[\frac{\pi(t-12)}{12}\right] = \lambda_z \frac{\partial T_i}{\partial z} - \varepsilon_w \sigma T_w^4. \end{cases} \quad 12 < t \leq 24;$$

Здесь  $A_s$  – коэффициент поглощения прямого солнечного излучения;  $S$  – плотность теплового потока солнечного излучения;  $\varphi$  – угол между нормалью к поверхности панели-радиатора «Север» и «Юг» и направлением на Солнце;  $\varepsilon$  – интегральная степень черноты поверхности;  $\sigma$  – постоянная Стефана-Больцмана;  $w$  – индекс поверхности панели-радиатора.

Эффективный сброс избыточного тепла в окружающее космическое пространство осуществляется за счет нанесения специального терморегулирующего покрытия «оптический солнечный отражатель» на радиационные поверхности панелей ( $\varepsilon_w = 0,85$ ). Коэффициент поглощения прямого солнечного излучения изменяется во времени и зависит от степени деградации терморегулирующего покрытия при воздействии факторов космического пространства. Он изменяется от 0,08 в начале эксплуатации до 0,33 в конце 12–15-летнего срока активного существования КА [3]. Плотность теплового потока прямого солнечного излучения  $S$  зависит от положения Солнца при его видимом годовом движении по большому кругу небесной сферы (эклиптике). В точках зимнего и летнего солнцестояния  $S=1440$  и  $1350$  Вт/м<sup>2</sup> соответственно. В точках весеннего и осеннего равноденствия  $S=1395$  Вт/м<sup>2</sup> [3].

Математическое моделирование теплопереноса в нерегулируемых НТТ, встроенных в сотовый заполнитель, проводилось с использованием записанной в цилиндрических координатах осесимметричной математической модели работы СОТР в распределенных параметрах, описывающей гидродинамику и тепломассообмен в паровой и жидкой фазах рабочего вещества и кондуктивный теплоперенос в корпусе тепловой трубы [7].

На основе сформулированной математической модели был проведен вычислительный эксперимент с целью исследования динамики процессов теплопереноса в Н-образном ИЛБ перспективного ПО современного КА связи при его орбитальной эксплуатации в существенно нестационарных условиях суточного цикла освещенности Солнцем. Суммарная мощность тепловыделения приборов БА, расположенных на обеих сторонах приборной панели – 2 составила 650 Вт. Рассматривалась СОТР на основе сети аммиачных нерегулируемых НТТ, проложенных в восьми параллельных плоскостях. Эффективные коэффициенты теплопроводности анизотропных элементов нагретой зоны приборов БА рассчитывались по тепловым схемам элементарной ячейки, представленным в [6]:  $\lambda_y=3,3$ ;  $\lambda_z=9,3$ ;  $\lambda_x=9,3$  Вт/(м·К). Эффективные коэффициенты теплопроводности анизотропного сотового заполнителя с ячейкой в виде шестигранника рассчитывались по эмпирическим зависимостям, приведенным в [3].

В качестве опорного варианта моделирования рассматривались типичные условия орбитальной эксплуатации КА в режиме сеанса связи в середине срока активного существования (7 лет,  $A_3=0,26$  [3]) в точке весеннего равноденствия в суточном цикле освещенности Солнцем. Результаты моделирования работы ИЛБ в типичных условиях эксплуатации представлены на рис. 2–4. Характер и диапазон изменения во времени средних температур обшивок панелей – 1 и 3 позволяет оценить суммарную эффективность работы СОТР, рис. 2.

Рост средней температуры обшивок радиаторных панелей – 3 ( $0 < t \leq 12$ , кривые 3, 4) и 1 ( $12 < t \leq 24$ , кривые 1, 2) более, чем на  $10^\circ\text{C}$ , обусловлен исключительно работой НТТ при переносе энергии, выделяемой приборами БА, и тепла солнечного излучения на радиаторные панели, находящиеся в указанные периоды времени в тени. С учетом того, что приборная панель – 2 не является радиаторной и имеет довольно высокую плотность двухсторонней компоновки расположения тепловыделяющих приборов БА, характер изменения средних температур обшивок этой панели (кривые 5, 6) также свидетельствует о том, что в условиях периодической освещенности радиаторных панелей Солнцем доминирующим является механизм переноса тепловой энергии с помощью НТТ. Следует отметить, что для большинства узлов и блоков радиоэлектронной аппаратуры, используемой в КА, диапазон рабочих температур составляет от  $-50$  до  $+50^\circ\text{C}$ .

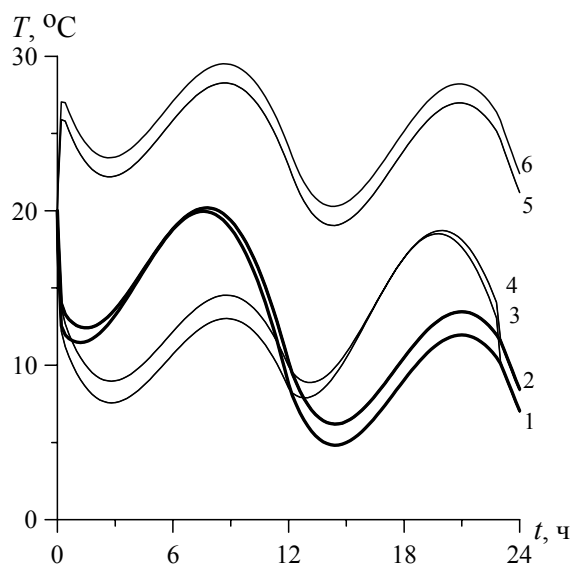


Рис. 2. Изменение во времени средней температуры обшивок радиаторных панелей 1 (кривые 1, 2), 3 (кривые 3, 4) и приборной панели 2 (кривые 5, 6) при орбитальной эксплуатации ИЛБ в суточном цикле освещенности Солнцем

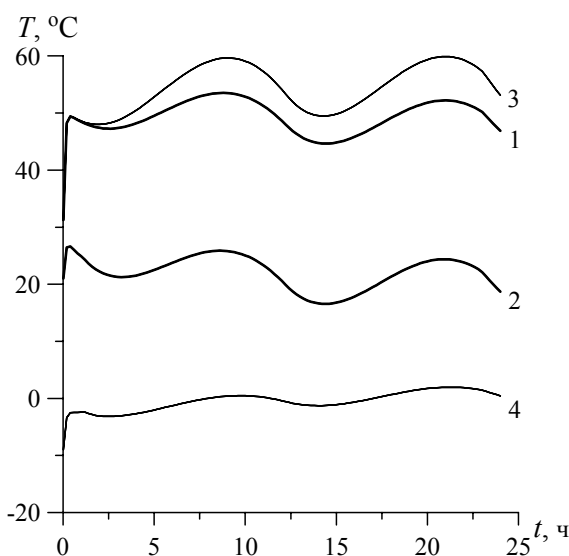


Рис. 3. Изменение температуры приборов БА во времени: 1) максимальной и 2) минимальной (опорный вариант); 3) максимальной, режим «Перегрев»; 4) минимальной, режим «Переохлаждение»

Известно [8], что увеличение температуры на  $10^\circ\text{C}$  в области  $+40...+50^\circ\text{C}$  снижает основные показатели надежности на 50 %. Поэтому работа РЭА в малой окрестности максимальных температур нецелесообразна. Анализ динамики изменения суточной максимальной и минимальной температур приборов БА в типичных условиях орбитальной эксплуатации ИЛБ (рис. 3, кривые 1, 2) показал, что могут быть превышены предельные значения рабочих температур приборов радиоэлектронной БА ( $+50^\circ\text{C}$  и более). Кроме того, выявлена достаточно высокая степень неизотермичности (более

30 °С) распределения температурных полей по приборам одной панели. Дополнительно об этом может свидетельствовать анализ положения характерных изотерм наиболее теплонагруженной плоскости обшивки приборной панели – 2 в момент времени достижения максимального значения температуры приборов, рис. 4.

С целью оценки теплопереноса в ИЛБ при экстремальных условиях его работы, были смоделированы режимы «Перегрев» и «Переохлаждение». В режиме «Перегрев» рассмотрены условия орбитальной эксплуатации КА во время сеанса связи в конце срока активного существования (12–15 лет) в точке зимнего солнцестояния в суточном цикле освещенности Солнцем. Результаты вычислительного эксперимента показали, что в подобных условиях может быть значительно превышен диапазон максимально допустимых рабочих температур радиоэлектронных приборов БА (рис. 3, кривая 3). В режиме «Переохлаждение» учтены условия орбитальной эксплуатации КА в начале срока активного существования в точке летнего солнцестояния в суточном цикле освещенности Солнцем. Анализ соответствующих результатов моделирования показал, что в данных условиях приборы БА будут работать без существенного снижения показателей надежности (рис. 3, кривая 4).

Представляет интерес сравнение полученных результатов с соответствующими характеристиками температурных полей, полученными при использовании плоской нестационарной модели [5], не учитывающей также совместность протекания процессов теплопереноса в различных панелях. Такое сравнение показывает, что пространственная

модель приводит к существенно меньшим отклонениям максимальных и минимальных температур от средних значений в идентичных условиях теплового воздействия как внешней среды, так и внутренних источников тепловыделения. При этом, отклонения составляют для плоской модели до 25 °С, а для пространственной – не более 12 °С. Учитывая вышеупомянутые ограничения, на диапазон рабочих температур радиоэлектронной аппаратуры КА, можно сделать вывод о существенно ограниченных возможностях плоских моделей. Следует отметить, что в рассматриваемых условиях учет реальных термических сопротивлений панелей в пространственной модели должен был приводить, на первый взгляд, к обратному эффекту: большим по сравнению с плоской моделью перепадам температур. Установленные закономерности могут быть объяснены тем, что плоские модели по существу не учитывают теплоаккумулирующую способность основных элементов конструкции КА – панелей. В экстремальных режимах работы теплоемкость конструкции играет значимую роль, снижая интенсивность разогрева в режиме «Перегрев» и увеличивая температуру панелей в режиме «Переохлаждение» при нестационарном внешнем воздействии. Полученные результаты показывают, что исследуемые процессы в такой сложной технической системе, как ИЛБ современного КА адекватно можно описать только при моделировании с применением пространственной нестационарной математической модели теплопереноса.

На основании результатов проведенных теоретических исследований можно сделать вывод о том, что характерными для Н-образного ИЛБ со-

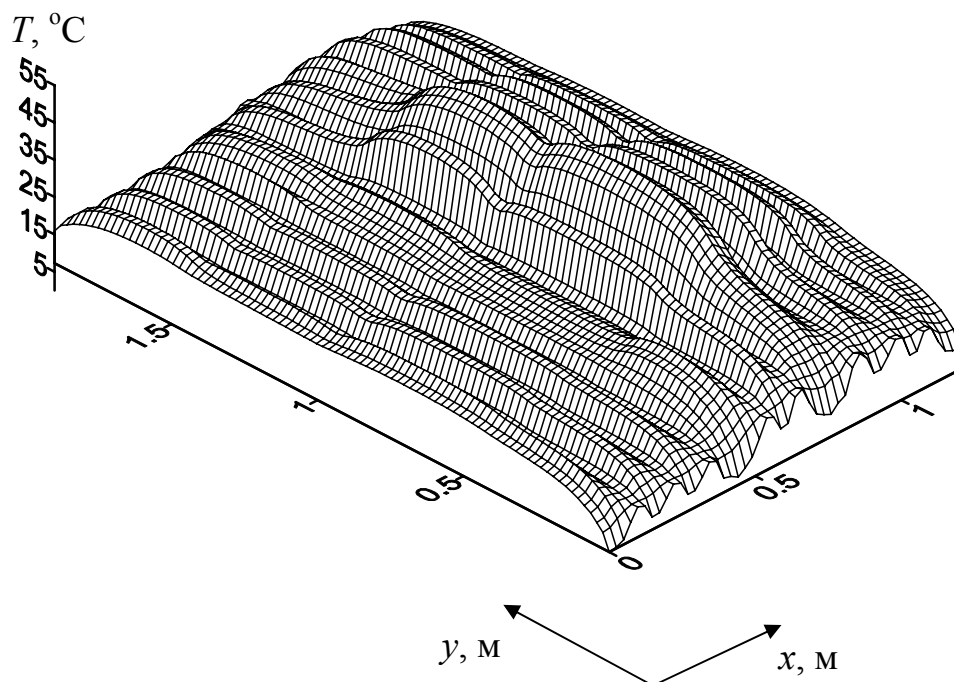


Рис. 4. Положение характерных изотерм наиболее нагретой обшивки приборной панели 2 при достижении максимальной температуры приборов

временного КА связи являются существенная нестационарность и неоднородность температурных полей всех панелей блока. Масштабы отклонений предельных значений температур от средних величин существенно отличаются от аналогичных данных, полученных с применением плоской нестационарной модели теплопереноса. Следовательно,

наиболее перспективными для анализа температурных полей и тепловых режимов таких сложных конструкций, как Н-образный блок КА являются пространственные нестационарные модели теплопереноса, учитывающие основные механизмы переноса энергии и тепловую связь между отдельными элементами конструкции блока.

#### СПИСОК ЛИТЕРАТУРЫ

1. Панин В.Ф. Конструкции с сотовым заполнителем. – М.: Машиностроение, 1991. – 270 с.
2. Пат. 2092398 РФ. МКИ В64G 1/10. Космический аппарат блочно-модульного исполнения. / Е.А. Ашурков, В.П. Кожухов, А.Г. Козлов, Е.Н. Корчагин. Опубл. 10.10.1997, Бюл. № 28. – 4 с.
3. Ашурков Е.А., Бураков В.А., Козлов А.Г. и др. Математическое моделирование нестационарных теплофизических процессов в отсеках бортовой аппаратуры космических аппаратов // Известия вузов. Физика. – 1993. – № 4. – С. 119–128.
4. Кузнецов Г.В., Санду С.Ф. Математическое моделирование теплопереноса в накопителях энергии современных космических энергетических установок // Известия вузов. Проблемы энергетики. – 2003. – № 5–6. – С. 3–13.
5. Бураков В.А., Елизаров В.В., Корчагин Е.Н. и др. Тепловая математическая модель Н-образного блока негерметичного приборного отсека геостационарных космических аппаратов // Инженерно-физический журнал. – 2003. – Т. 76. – № 4. – С. 142–149.
6. Дульнев Г.Н. Тепло- и массообмен в радиоэлектронной аппаратуре. М.: Высшая школа, 1984. – 247 с.
7. Кузнецов Г.В., Санду С.Ф. Математическое моделирование работы систем обеспечения теплового режима радиоэлектронной аппаратуры // Известия вузов. Приборостроение. – 2005. – Т. 48. – № 1. – С. 54–61.
8. Борисов А.А., Горбачева В.М., Карташов Г.Д., Мартынов М.И., Прытков С.Ф. Надежность зарубежной элементной базы // Зарубежная радиоэлектроника. – 2000. – № 5. – С. 34–53.